

한국표면공학회지

Journal of the Korean Institute of Surface Engineering

Vol. 27, No. 5, Oct. 1994

<연구논문>

## 반응성 스퍼터링방법으로 증착된 Ta-N 박막의 미세구조 분석

민경훈, 김기범

서울대학교 금속공학과

## Analysis of the microstructure of reactively sputtered Ta-N thin films

K. H. Min and K. B. Kim

Department of Metallurgical Engineering, Seoul National University, Seoul, Korea, 151-742

### Abstract

Ta-N films were reactively sputter deposited by dc magnetron sputtering from a Ta target with a various Ar-N<sub>2</sub> gas ratio. Electrical resistivity of pure Ta film was 150  $\mu\Omega\text{-cm}$  and decreased initially with nitrogen addition, and then increased to a value of 220  $\mu\Omega\text{-cm}$ ~260  $\mu\Omega\text{-cm}$  at 9%~23% nitrogen partial flow. Rutherford backscattering spectrometry(RBS) and Auger electron spectroscopy(AES) analysis show that nitrogen content in the film is increased with the nitrogen partial flow. The film contains 58at.% nitrogen at 36% nitrogen partial flow. Both the phase and the microstructure of the as-deposited films were investigated by x-ray diffractometry(XRD) and transmission electron microscopy(TEM) at various nitrogen content. The phase of pure Ta film is identified as  $\beta$ -Ta with a 200 Å~300 Å grain size. The phase of Ta film is changed to bcc-Ta as small amount of nitrogen is added. Crystalline Ta<sub>x</sub>N film was deposited at 24at.% nitrogen content. Amorphous phase is formed over a range of nitrogen content from about 33at.% to 35at.% while crystalline fcc-TaN is observed to form at 39at.%~48at.% nitrogen content.

### 1. 서 론

Ta과 Ta-N 화합물 박막에 관하여 현재까지 박막의 증착조건과 증착된 박막의 성질에 관한 많은 관심과 연구가 이루어지고 있다. Ta은 박막으로 증착될 경우 증착조건에 따라서 30~40  $\mu\Omega\text{-cm}$ 의 낮은 비저항을 갖는 체심입방구조(body-centered cubic, bcc)의 Ta과 180~200  $\mu\Omega\text{-cm}$ 정도의 높은 비저항을 갖는 준안정상인  $\beta$ -Ta 상의 두 가지 상으로 증착될 수 있다<sup>1-5)</sup>. 이러한 두 가지 상형성

을 결정하는 요인을 알아내기 위한 많은 실험결과들이 보고되었으며<sup>1-8)</sup> 기판의 표면처리와 불순물의 영향등이 주로 연구되었다. Catania 등<sup>4)</sup>은 기판 바이어스를 걸어줄 경우  $\beta$ -Ta 상이 생성되었다고 보고하였으며 Clevenger 등<sup>6)</sup>은  $\beta$ -Ta에서 bcc-Ta으로 상변태를 하는데 있어서 응력의 영향을 조사하였다. Westwood 등<sup>2)</sup>과 Schauer 등<sup>3)</sup>은 표면의 불순물에 의해  $\beta$ -Ta이 생성된다고 하였으며 Feinstein 등<sup>1)</sup>은 표면의 -O나 -OH에 의해  $\beta$ -Ta이 생성된다고 보고하였다.

Ta-N 화합물 박막은 온도에 따른 비저항값 변화(temperature coefficient of resistivity, TCR)가 작아 박막저항장치(thin film resistor)에 사용하기 위한 연구가 이루어지고 있으며<sup>9) 10)</sup> 최근에는 반도체 배선공정에서 Al<sup>11) 12)</sup>이나 Cu<sup>13) 14)</sup>의 확산방지막으로 이용하기 위한 실험결과들도 발표되고 있다. 질소와의 반응성 스퍼터링에 의한 Ta-N 박막의 증착에 관해서는 Gerstenberg<sup>9)</sup>, Schauer<sup>3)</sup>, Rottersman<sup>15)</sup>, Takeyama<sup>16)</sup> 등이 실험결과를 발표하였으며 최근에 Nicolet<sup>16) 17)</sup>은 RF 스퍼터링에 의해서 질소유량에 따른 조성과 상분석, 미세구조관찰 등을 하여 질소함량이 30at.% 정도에서 비정질과 결정질이 혼합되어 있는 박막이 증착되었다고 보고하였다. 확산방지막으로 사용할 경우 바정질박막은 빠른 확산경로인 결정질계가 박막내부에 존재하지 않기 때문에 좋은 확산방지막성능을 가질 것으로 예상된다. Ta이나 Ta-N 박막을 확산방지막이나 다른 분야에 사용하기 위해서는 이러한 비저항값과 조성분석 및 상분석, 미세구조관찰 등이 선행되어야 한다.

본 실험에서는 직류 마그네트론 스퍼터링방법에 의해서 질소유량분율에 따라 증착된 Ta 박막의 조성분석 및 상분석, 미세구조관찰을 통하여 박막의 성질을 조사하였다.

## 2. 실험방법

본 실험에 사용한 기판은 Si (100) 웨이퍼이며 증착전 기판은 모두 20:1 HF와 탄이온수 세척을 하였다. Ta-N 박막은 3인치 Ta 타겟을 사용하여 아르곤과 질소의 혼합기체분위기에서 직류 마그네트론 스퍼터링방법으로 증착하였다. 기판은 수냉시켰으며 아르곤과 질소의 유량은 각각의 유량계에 의해 조절되었다. 증착전 압력은  $1\sim 3 \times 10^{-6}$  Torr였으며 박막을 증착한 공정압력은 모두 10m-Torr였다. 아르곤의 유량은 4sccm으로 고정하였으며 질소의 유량은 0에서 2.4sccm까지 변화시키면서 박막을 증착하였다. 직류전력은 600W로 하였으며 조성분석에 사용한 박막의 두께는 2000 Å

정도였다. 박막의 증착속도는  $\alpha$ -step profilometer로 박막의 두께를 측정하여 계산하였으며 four-point probe로 면적항값을 측정하여 박막의 비저항을 계산하였다. 박막의 조성분석을 위하여 Rutherford Backscattering Spectrometry(RBS)와 Auger Electron Spectroscopy(AES)분석을 하였는데 3개의 시편을 RBS로 분석하여 표준시편으로 하고 5개의 시편을 AES로 분석한 후 표준시편을 기준으로 보정하여 조성을 구하였다. 각 조성에서 증착된 박막의 상분석을 위하여 5 kW Cu K $\alpha$  X-ray diffractometer(XRD)로 분석을 하였으며 평면투과전자현미경(plan-view Transmission Electron Microscopy, 평면 TEM)을 사용하여 상분석과 미세구조를 관찰하였다. TEM분석시 가속전압은 200kV였다.

## 3. 실험결과 및 고찰

### 3. 1. 박막의 증착속도와 비저항

Fig. 1에 질소유량변화에 따른 박막의 증착속도를 나타내었다. 질소가 첨가되면서 박막의 증착속도는 계속 감소하는 경향을 보이는데 질소유량분율(질소유량 × 100(%)/전체유량)이 33% 정도되

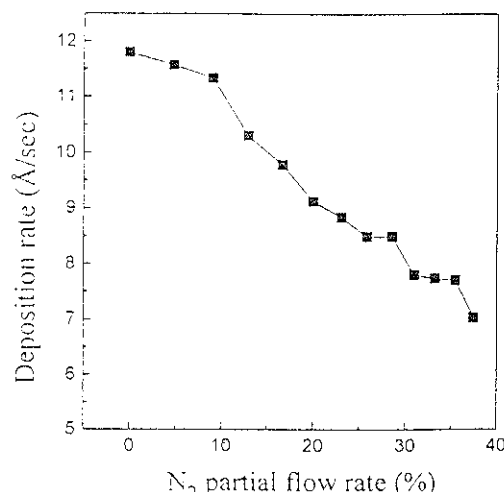


Fig. 1. Deposition rate of Ta-N films as a function of N<sub>2</sub> partial flow rate.

는 경우 증착속도는 순수한 아르곤만을 사용한 경 우의 증착속도보다 약 34% 감소하였다. 이는 전 채기체중에서 아르곤에 의해 스퍼터링효율이 떨 어지는 질소의 분율이 증가하고 Ta 타겟표면에 Ta에 비해서 스퍼터링되기 힘든 Ta-N 화합물이 형성되기 때문인 것으로 생각된다.

질소유량분율에 따른 박막의 비저항값변화를 Fig. 2에 나타내었다. 유입된 기체가 순수한 아르 곤일때의 비저항값은  $150 \mu\Omega\text{-cm}$ 였고 질소유량분 율이 1%로 증가함에 따라  $63 \mu\Omega\text{-cm}$ 로 급격히 감소하였다가 다시 증가하여 질소유량분율이 9% ~23% 구간에서는 비저항값이  $220\sim260 \mu\Omega\text{-cm}$  의 비교적 일정한 값을 갖는다. 질소유량분율이 26% 이상으로 더욱 증가하면 비저항값은 급격히 증가하는 모습을 보인다. 순수한 Ta 박막의 비저 항값을 제외하면 이러한 경향은 다른실험들<sup>9, 11)</sup>과 일치하는 결과이다. Mehrotra<sup>10)</sup>은 직류 마그네 트론 스퍼터링에 의해서 증착한 순수한 Ta 박막의 경우에 비저항값이  $80 \mu\Omega\text{-cm}$ 이었다가 질소유 량증가에 따라  $220 \mu\Omega\text{-cm}$ 까지 증가하고 이 같은 질소유량이 12~16sccm인 동안 계속 유지되다가 질소유량이 더 커지면 다시 증가한다고 보고하였 다. 이는 이전에 발표된 Gerstenberg<sup>9)</sup>의 결과

와도 일치하며 Nicolet<sup>17)</sup>도 RF 스퍼터링에 의해 이와 유사한 결과를 발표하였다. 순수한 아르 곤기체분위기에서 증착한 박막의 비저항값만이 앞의 논문발표들과 다른 것은 이번 실험에서 증착 된 박막이 Gerstenberg<sup>9)</sup>이나 Nicolet<sup>17)</sup>이 그들이 논문에서 증착되었다고 보고한 낮은 비저항의 bcc-Ta 상이 아닌 비교적 높은 비저항의  $\beta$ -Ta 상이라는 것을 암시해주고 있으며 이는 3. 3 에서 언급한 XRD와 평면 TEM의 회절무늬분석에서 확인되었다. 앞의 세 논문과 유사한 실험을 한 Takeyama<sup>16)</sup>은 이들과 달리 Si (100)기판위에  $\beta$ -Ta이 형성되었다고 보고했으며 이는 본 실험 결과와 일치한다. Ta 박막에서 서로 다른 두 가지 상이 형성되는 조건에 관해서는 오래전부터 여러 논문에서 일치하지 않는 결과들을 발표하였으며<sup>1~3)</sup> Ta 박막의 상 형성을 결정하는 요인으로는 서론 부분에서 언급한 바와 같이 불순물이나 초기표면상태가 중요하다고 알려졌으나 아직 어떤 요인에 의 해서 상 형성이 결정되는지는 확실하지 않다.

### 3. 2. 박막의 조성분석

Fig. 3에 질소유량변화에 따른 박막내의 질소함 량을 나타내었다. 문현에 의하면<sup>9, 11)</sup> 비저항값이

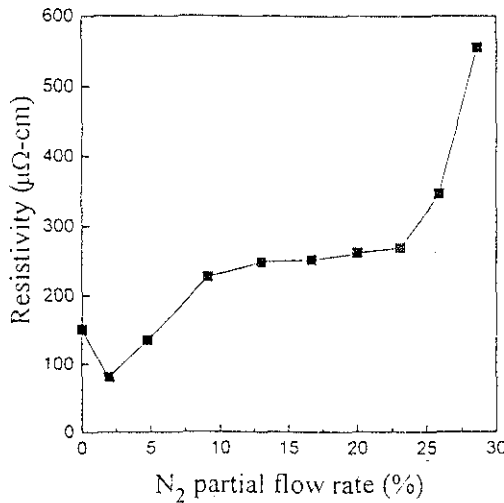


Fig. 2. The variation of the resistivity of Ta-N films as a function of N<sub>2</sub> partial flow rate.

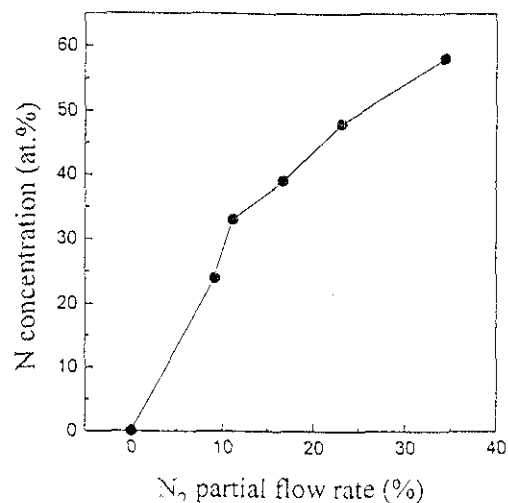


Fig. 3. Nitrogen concentration in Ta-N films as a function of N<sub>2</sub> partial flow rate.

220~240  $\mu\Omega \cdot \text{cm}$  정도의 일정한 값을 나타내는 구간에서  $\text{Ta}_2\text{N}$ 과  $\text{TaN}$ 이 나타난다고 보고되어 있으며 따라서 이 부근의 시편을 중심으로 박막의 조성을 분석하였다. 질소유량의 증가에 따라 질소 함량은 초기에 급격히 증가하다가 그 증가속도가 조금씩 둔화되어 가는 경향을 보인다. 그 이상의 질소유량분율에서는 조성분석을 하지 않았으나 Nicolet<sup>[7]</sup>등은 질소함량이 60% 정도에서 포화되었다고 보고하였다.  $\text{Ta}_2\text{N}$ 의 화학양론적인 조성( $\text{Ta} : \text{N} = 2 : 1$ )은 대략 질소의 유량분율이 11% 일 때에 나타났으며  $\text{TaN}$ 의 화학양론적인 조성( $\text{Ta:N} = 1:1$ )은 질소의 유량분율이 23% 일 때 가장 가까웠다. 상태도에 따르면<sup>[8]</sup>  $\text{TaN}$ 의 질소함량범위는 50at.% 부근의 매우 좁은 영역인데 비하여  $\text{Ta}_2\text{N}$ 은 질소함량이 22at.%~35at.% 정도의 비교적 넓은 범위를 가지고 있는 화합물이다. 조성분석에서 질소유량분율이 9%~11% 일 때 질소의 함량은 24at.%~33at.% 이었으므로 모두  $\text{Ta}_2\text{N}$ 의 조성범위 안에 있음을 알 수 있다.

### 3. 3. 박막의 상분석

각 조성에서 박막의상을 분석한 XRD결과를 Fig. 4에 나타내었다. 순수한 질소분위기에서 중착한 박막의 경우 33.6°에서  $\beta\text{-Ta}$ 의 (002) 피크가 매우 크게 나왔으며 38°부근에서 나타나는 작은 피크는  $\beta\text{-Ta}$ 의 (202) 또는 bcc-Ta의 (110) 피크로 생각된다. 질소가 첨가되면서 전체피크강도가 감소하고  $\beta\text{-Ta}$ 의 (002) 피크가 없어짐과 동시에 면간거리가 2.37 Å에서 2.42 Å으로 증가하는데 Fig. 2에 나타난 이때의 미저항감소와 연관지어 생각해 보면 질소의 첨가에 의해서  $\beta\text{-Ta}$ 이 bcc-Ta으로 상변태를 한 것으로 보인다. 이는 뒤에서 언급할 평면 TEM에 의한 상분석에서 확인되었다. 38°부근에서 나타난 피크의 면간거리는 증가는  $\beta\text{-Ta}$ 의 (202) 피크가 없어지고 bcc-Ta의 (110) 피크가 나타났거나 또는 bcc-Ta의 (110) 피크가 격자내부의 질소 첨가에 따라 격자상수가 커진 때문으로 생각된다. 이러한 상변태는 질소가

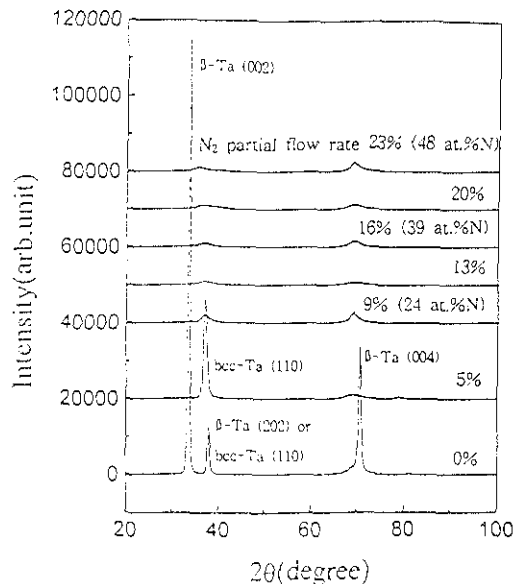
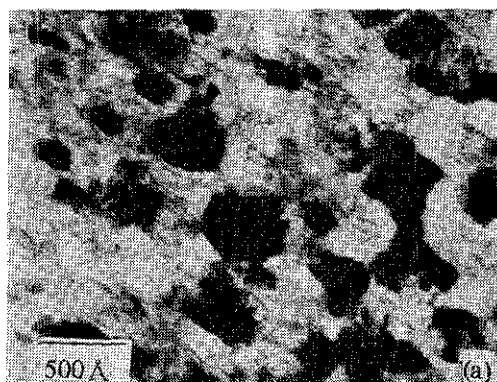


Fig. 4. XRD patterns of the Ta-N films, sputter deposited at various  $\text{N}_2$  partial flow rate.

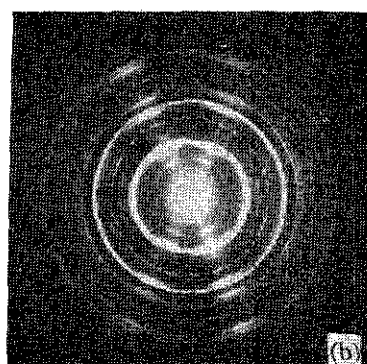
첨가되면서  $\beta\text{-Ta}$ 이 bcc-Ta으로 상변태를 했다고 보고한 Rottersman<sup>[9]</sup>과 Noya<sup>[10]</sup>의 결과와 일치한다. Feinstein<sup>[11]</sup>은 초기에  $\beta\text{-Ta}$ 으로 형성된 박막도  $\beta\text{-Ta}$ 의 고용도를 넘는 불순물이 증착 중에 들어가면 불순물의 고용한도가 더 큰 bcc-Ta으로 상변태를 한다고 보고하였으며 이러한 설명은 위의 결과를 잘 설명하여 준다. 질소함량이 24at.%가 되면서 피크의 강도가 급격히 떨어지고 면간거리만 질소함량 39at.%까지 조금씩 증가한다. 질소함량이 더 증가하면서 피크는 비대칭성을 띠고 질소함량 48at.%부터 면간거리를 증가한다. 질소함량이 48at.%가 될 때까지의 면간거리를 분석해 본 결과 질소함량 48at.%에서는  $\text{TaN}$  (111) 피크로 지수를 불일 수 있었다. 그러나 질소함량이 그 이하인 피크들은  $\text{Ta}_2\text{N}$ 의 (002)면과  $\text{TaN}$ 의 (101)면의 면간거리인 2.457 Å과 2.423 Å에 매우 근접하여 있어서 XRD에서 이를 구분하는 것은 어려웠다. 위에서 본 바와 같이 증착한 시편들은 강한 우선방위를 갖고 있기 때문에 상분석이 용이하지 않다. 그러므로 정확한 상분석을

위하여 평면 TEM의 selected area diffraction (SAD)으로부터 상분석을 시도하였다.

여러 조성에서 평면 TEM으로 분석을 하였으며 그 중 순수한 Ta 박막과 질소함량이 각각 2at.%, 24at.%, 33at.%, 48at.% 일 때의 명시야상과 회절무늬를 각각 Fig. 5, 6, 7, 8, 9에 나타내었다. Fig. 5(a)에 나타낸 순수한 Ta 박막의 TEM 사진을 보면 결정립크기는 200 Å ~ 300 Å 정도임을 알 수 있다. Fig. 5(b)의 회절무늬분석결과는 Table 1에 나타낸 것과 같이  $\beta$ -Ta이었고 강한 texture가 형성되었다는 것을 보여주며 매우 약한 bcc-Ta 무늬가 섞여 있었다. 회절무늬에 bcc-Ta이 섞여 있었다는 것은 이 박막의 비저항값이  $\beta$ -Ta의 비저항



(a)



(b)

Fig. 5. Plan-view TEM micrograph of the Ta film :

- (a) Bright field image
- (b) Selected area diffraction pattern

Table 1. Crystallography of Ta films

Observed	$\beta$ -Ta <sup>a</sup>	bcc-Ta <sup>b</sup>
2.36 Å	2.354 Å (202)	2.338 Å (110)
2.24 Å	2.241 Å (411)	
1.65 Å		1.653 Å (200)
1.57 Å	1.555 Å (313)	1.350 Å (211)
1.47 Å	1.462 Å (631)	
1.36 Å	1.367 Å (641)	

a) JCPDS 25-1280

b) JCPDS 4-0788

값인  $165 \mu\Omega\text{-cm}$ 보다도 오히려 낮은 비저항값이 나온 이유를 잘 설명해 준다. 또한 XRD 분석에서 나온 작은 피크에 bcc-Ta의 (110)면이 기여했을 가능성을 확실히 보여준다. 질소가 약간 첨가된 질소함량 2at.% 일 때의 결정립모양은 Fig. 6(a)에 나타난 것과 같이 순수한 Ta 박막과 유사하였다. 그러나 회절무늬는  $\beta$ -Ta과 전혀 달랐으며 분석결과 XRD 분석에서 예상한 바와 같이 bcc-Ta이었다(Table 2). 질소함량이 24at.% 일 때의 평면 TEM 사진과 회절무늬를 나타낸 Fig. 7(a)를 보면 결정립 크기가 수십 Å으로 매우 작아졌음을 볼 수 있으며, Table 3에 나타낸 것과 같이 Fig. 7(b)의 회절무늬분석결과는  $Ta_2N$ 이었다. Fig. 8(a)에 나타난 질소함량이 33at.% 일 때의 상을 보면 결정립들이 보이지 않고 Fig. 8(b)에서 볼 수 있듯이 회절무늬가 폭이 넓은 링으로 나타나면서 전형적인 비정질의 모습을 보인다. 이러한 결과는

Table 2. Crystallography of Ta(N) films

Observed	bcc-Ta <sup>a</sup>
2.37 Å	2.338 Å (110)
1.68 Å	1.653 Å (200)
1.38 Å	1.350 Å (211)
1.19 Å	1.1687 Å (220)
1.06 Å	1.0453 Å (310)
0.978 Å	0.9543 Å (222)
0.907 Å	0.8835 Å (321)

a) JCPDS 4-0788

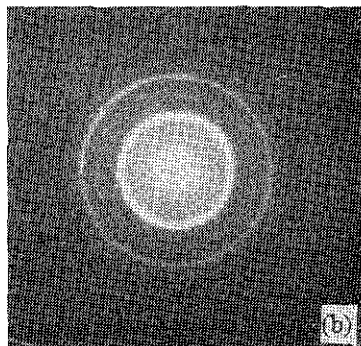
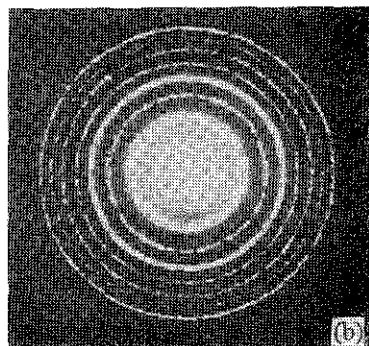


Fig. 6. Plan-view TEM micrograph of the Ta(N) film :  
 (a) Bright field image  
 (b) selected area diffraction pattern

Fig. 7. Plan-view TEM micrograph of the Ta<sub>2</sub>N film :  
 (a) Bright field image  
 (b) selected area diffraction pattern

Table 3. Crystallography of hcp-Ta<sub>2</sub>N films

Observed	hcp-Ta <sub>2</sub> N <sup>a</sup>
2.4 Å	2.457 Å (002)
1.39 Å	1.391 Å (103)
1.21 Å	1.228 Å (004)

a) JCPDS 26-985

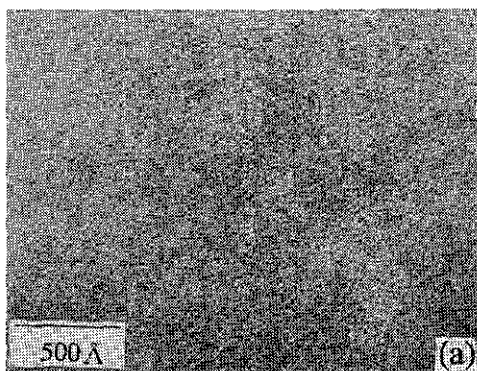
이 조성에서 비정질과 결정질 Ta<sub>2</sub>N의 혼합상이 나타났다고 보고한 Nicolet<sup>17</sup>나 육방정의 Ta<sub>2</sub>N이 형성되었다고 한 Gerstenberg<sup>91</sup>나 Schauer<sup>31</sup>등의 보고와는 다른 새로운 결과이다. 이 박막을 확산 방지막으로 사용할 경우 빠른 확산경로인 결정질 계가 없는 비정질 확산방지막이므로 결정질 확산 방지막에 비해 좋은 성능을 보일 것으로 예상된다.

다. 이번 실험에서 관찰한 결과에 의하면 질소함량이 33at.%~35at.%까지의 구간에서 모두 Fig. 8과 유사한 비정질의 박막이 증착되었다. 질소함량이 48at.%인 박막의 평면 TEM 사진과 회절무늬를 Fig. 9에 나타내었다. Fig. 9(b)의 회절무늬를 분석한 결과 이 박막은 Table 4에 나타낸 것과

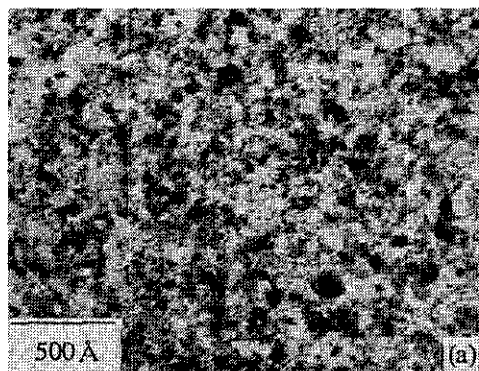
Table 4. Crystallography of fcc-TaN films

Observed	fcc-TaN <sup>a</sup>
2.5 Å	2.503 Å (111)
2.158 Å	2.169 Å (200)
1.513 Å	1.531 Å (220)
1.297 Å	1.307 Å (311)

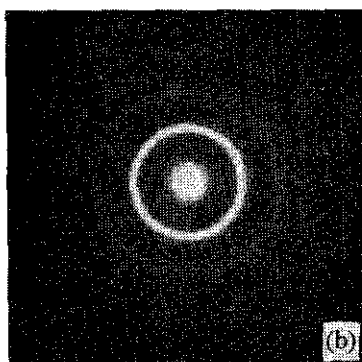
a) JCPDS 32-1283



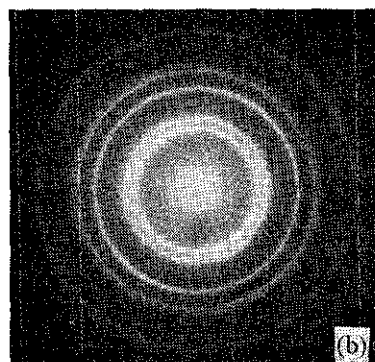
(a)



(a)



(a)



(b)

Fig. 8. Plan-view TEM micrograph of the amorphous film:  
 (a) Bright field image  
 (b) selected area diffraction pattern

같이 격자상수 4.33Å의 fcc-TaN이었다. 이 조성의 결정립 크기는 대략 30~50Å 정도였다.

#### 4. 결 론

아르곤과 질소의 혼합기체중에서 질소유량증가에 따른 Ta 박막에서의 질소함량증가를 보면 초기에는 질소유량증가에 따라 박막의 질소함량이 빠르게 증가하다가 질소유량이 더 증가하면서 증가세가 감소하는 경향을 보였다.

순수한 아르곤기체를 사용하여 증착한 Ta 박막의 비저항값은  $150 \mu\Omega\text{-cm}$ 으로  $\beta$ -Ta 상이 증착되었고 결정립 크기는 대략 200Å~300Å이었다. 질소가 박막에 소량 첨가됨에 따라 박막의 비저항

Fig. 9. Plan-view TEM micrograph of the fcc-TaN film:  
 (a) Bright field image  
 (b) selected area diffraction pattern

값은 급격히 감소하고 증착된 박막의 상은 bcc-Ta이었다. 질소유량이 더 증가함에 따라 박막의 비저항값은 다시 증가하여 질소유량분율이 9%~23% 구간에서는 비저항값이 220~260  $\mu\Omega\text{-cm}$ 로 비교적 일정하였다. 이 구간에서 박막의 질소함량은 24at.%에서 48at.%로 증가하였으며 질소함량의 증가에 따라 결정질  $\text{Ta}_2\text{N}$  상, 비정질 상, fcc-TaN 상이 각각 증착되었다.

#### 후 기

본 연구는 1994년도 교육부 반도체분야 학술연구조성비 지원(ISRC-94-E-1017)과 ETRI의 “차세대 반도체 학술 연구비” 도움에 의해 수행

되었으며 이에 감사드립니다. 그리고 XRD분석에 도움을 준 표준과학연구소의 김창수박사님께 감사드립니다.

### 참고문헌

1. L. G. Feinstein and R. D. Hutmenn : Thin Solid Films 16, (1973) 129
2. W. D. Westwood and F. C. Livermore : Thin Solid Films 5, (1970) 407
3. A. Schauer and M. Roschy : Thin Solid Films 12, (1972) 313
4. P. Catania, R. A. Roy, and J. J. Cuomo : J. Appl. Phys. 74, (1993) 1008
5. D. W. Face and D. E. Prober : J. Vac. Sci. Technol. A 5, (1987) 3408
6. L. A. Clevenger, A. Mutscheller, J. M. E. Harper, C. Cabral, Jr., and K. Barmak : J. Appl. Phys. 72, (1992) 4918
7. K. Hieber and N. M. Mayer : Thin Solid Films 90, (1982) 43
8. S. Sato : Thin Solid Films 94, (1982) 321
9. D. Gerstenberg and C. J. Calbick : J. Appl. Phys. 35, (1964) 402
10. C. L. Au and W. A. Andeson : J. Mater. Res. 5(6), (1990) 1224
11. B. Mehrotra and J. Stimmell : J. Vac. Sci. Technol. B 5(6), (1987) 1736
12. M. A. Farooq, S. P. Murarka, C. A. Chang and F. A. Baiocchi : J. Appl. Phys. 65, (1989) 3017
13. K. Holloway, P. M. Fryer, C. Cabral, Jr., J. M. E. Harper, P. J. Bailey, and K. H. Kelleher : J. Appl. Phys. 71, (1992) 5433
14. J. O. Olowolafe, C. J. Mogab, R. B. Gregory, and M. Kottke : J. Appl. Phys. 72, (1992) 4099
15. M. H. Rotterson and M. J. Bill : Thin Solid Films 61, (1979) 281
16. A. Noya, K. Sasaki and M. Takeyama : Jpn. J. Appl. Phys. 32, (1993) 911
17. X. Sum, E. Kolawa, J. S. Chen, J. S. Reid and M. A. Nicolet : Thin Solid Films 236, (1993) 347
18. T. B. Massalski : Binary Alloy Phase Diagram, Vol. 3, The Materials Information Society, Materials Park, (1990) 2703